

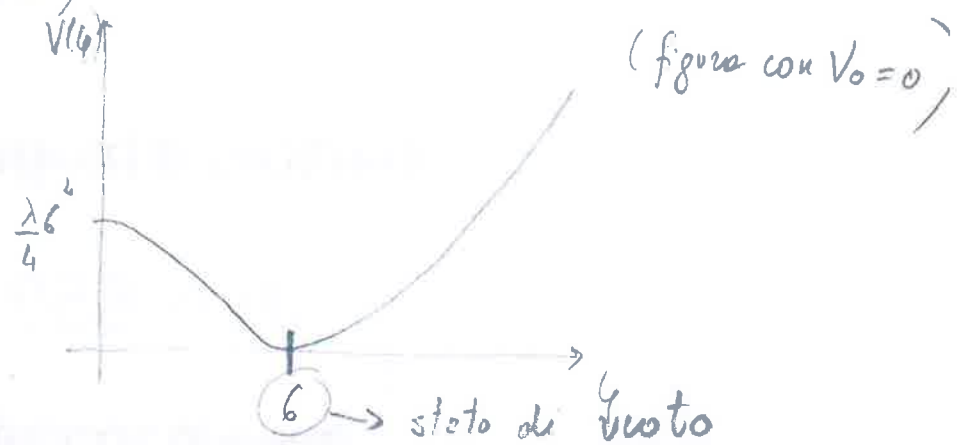
MODELLO INFLAZIONARIO

(15)

Guth '81 (Vecchia inflazione)

$$V(\varphi) = \frac{1}{4} (\varphi^2 - 6^2)^2 + V_0$$

massa < 0



(figura con $V_0=0$)

Questo potenziale è l'esempio classico di rotta spontanea di simmetria.
(Vi invito a fare la trasformazione $\varphi \rightarrow -\varphi$, tale simmetria non è rispettata dallo stato di vuoto)
 $V(\varphi)$ è il potenziale a temperatura $T \rightarrow 0$. A $T \neq 0$ dobbiamo tenere conto di una energia interna del sistema più alta;
 $V(\varphi)$ non è altro che il punto terminale di uno sviluppo di un potenziale $V(\varphi; T)$. Precisamente,

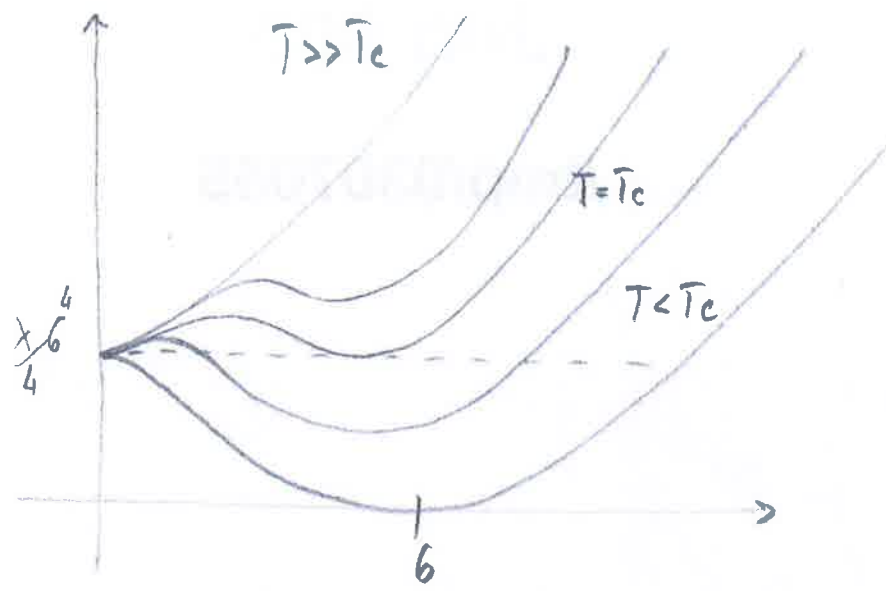
$$V(\varphi, T) = V(\varphi) + \alpha^2 \varphi^2 T^2 + \beta T^4 + \gamma T^3$$

α, β, γ costanti adimensionali - (ricorda che i bosoni scalari $\beta = \frac{\pi^2}{30}$; comunque βT^4 solo fa che spostare $V(0; T)$ e d'ora in avanti si può fare e meno di considerarlo)

L'Eq. (3) tiene conto che a $T \neq 0$ devo considerare il contributo di particelle relativistiche (fluido di radiazione) che dominerà ad alte temperature -

Esempio: provate a prendere $\gamma < 0$ -

Il termine $\frac{1}{2}\varphi^2 T^2$ domina al di sopra di una certa temperatura critica T_c . In questo regime $\varphi=0$ è un minimo assoluto. Man mano che T diminuisce inizierà a comparire un'altra concavità che tende ad abbassarsi sempre più (vedi figura)



(la T_c è definita come quella T alla quale $V_T(q=0) = \frac{x_6}{4}$ è uguale al valore del secondo minimo locale)

Quando $T < T_c$ il vero minimo del sistema è a $\varphi = 6$. Per questo motivo $\varphi = 0$ viene anche chiamato stato di falso vuoto, mentre $\varphi = 6$ stato di vero vuoto.

(1+)

Nel modello di Guth quindi inizialmente dominava la radiazione

$$\rho(T) = \frac{\pi^2}{30} g_* T^4$$

$$g_*(T) = \sum_{\text{bosoni}} g_i \left(\frac{T_i}{T}\right)^6 + \frac{7}{8} \sum_{\text{fermioni}} g_i \left(\frac{T_i}{T}\right)^6$$

Ma nuoto che T oltre che il sistema rimane interpolato nel falso vuoto. Tenendo conto di questo fatto la precedente espressione va modificata in

$$\rho(T) = \frac{\pi^2}{30} g_* T^4 + \rho_0$$

$$\rho_0 = \frac{1}{4} G^4 \text{ energia del falso vuoto -}$$

Guardo T è sufficientemente bassa, ρ_0 domina e

$H^2 = \frac{8\pi G}{3} \rho_0$: l'universo si trova in un'epoca di de-Sitter e inizia a comparire il vero vuoto. A questo punto si ha una transizione di fase.

Quindi nel modello di Guth l'inflazione è legata ad una transizione di fase ad alta temperatura. Questa transizione di fase coincide nel passaggio del campo scalare del falso vuoto al vero vuoto: anche se T_c (che rimane intrappolato nel falso vuoto a causa della barriera di potenziale tra i due minimi (fenomeno del supercooling)) - il passaggio al vero vuoto può avvenire allora o fa effetto quantistico quando la barriera di potenziale è più coda, e anche domanda quale guadalo a T ancora β (e borsa la barriera non si) più - Quando il sistema raggiunge il vero vuoto viene liberato del colore latente (corrispondente alla differenza ΔV tra il falso e il vero vuoto) riportandolo con il sistema a $T \approx T_c$ (fenomeno del reheating). -

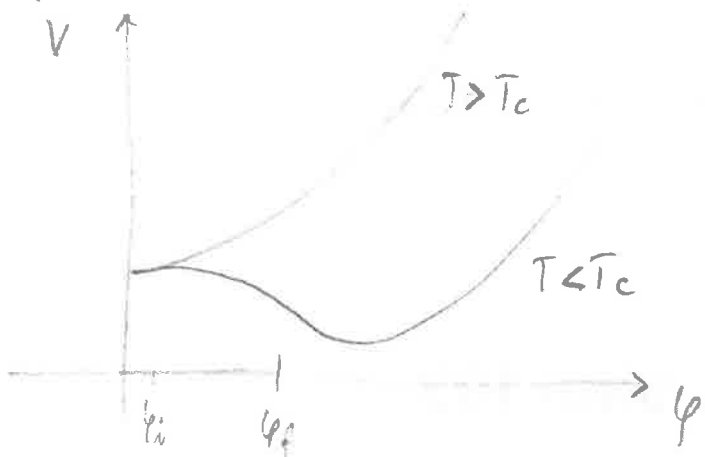
Transizioni di fase che avvengono con questo meccanismo e con potenziali del tipo in figura indicano del fuoco ardente.

Problema principale di questo modello:

graceful exit problem. (transizione avvenuta con bolle di vero vuoto su un background di falso vuoto che si espande a $v > c$ \Rightarrow le bolle non riescono a formare una regione sufficientemente grande da essere identificata col nostro universo osservabile e per lo stesso motivo non c'è una termolisi efficace del colore latente che rimane intrappolato nelle singole bolle) -

NUOVA INFLAZIONE

Il problema della "vecchia Inflazione" viene risolto con un potenziale diverso:



Tra $[\phi_i, \phi_f]$ il potenziale $V(\phi, T)$ per $T \rightarrow 0$ rimane approssimativamente costante.

Un sistema di ϕ intrappolato a $\phi=0$, poi non muore che T scende inizia a rotolare lentamente lungo il potenziale. In questo caso no barriera di potenziale (no effetto tunnel ma il campo riveste di una forza clonica debole) e no formazione di bolle, bensì c'è differente rotolare in diverse regioni (domini), si parla in questo caso di decomposizione spaziale: non fai tante bolle che devono percolare ma una sola regione che contiene l'orizzonte visibile sufficiente di e-foldings tale da far nascere una regione iniziale espandente così da contenere il nostro universo attualmente osservabile).

E' con questo tipo di modello che ci inizia a parlare di lento rotolare (nel modello di Guth il campo è fisso).

Fine inflazione: il campo scalare inizia a vedere il minimo di uno vuoto, osilla in modo smorzato e nel contempo decada in altre particelle cedendo la sua energia cinetica (rilascio calore latente, reheating) e inizia così l'evoluzione

20 stiamo di un universo dominato da radiazione (e poi materia) prodotti del decadimento di g

E: = potenziale Coleman - Weinberg

$$V(\varphi) = B \frac{\varphi^4}{2} + B \varphi^4 \left[\ln \left(\frac{\varphi^2}{6^2} - \frac{1}{2} \right) \right]$$

Per $\varphi \ll 6$:

$$V(\varphi) \approx B \frac{\varphi^4}{2} - \lambda \frac{\varphi^4}{4} \quad \text{con } \lambda \approx \left| 4B \ln \left(\frac{\varphi^2}{6^2} \right) \right| \approx 10 - 100 B$$

vicino a $\varphi = 0$ $V(\varphi) = \frac{B\varphi^4}{2} \quad \epsilon \varphi^2 \approx \frac{4\pi G B \varphi^4}{3}$

tipicamente $B \approx 10^{-3} \Rightarrow \lambda \sim O(1)$ (B sarebbe $B = \frac{25 \alpha_{\text{EM}}^2}{16 \pi^2 G}$)
 $\varphi \approx T_c \approx 10^{15} \text{ GeV}$ e risulta $\varphi^2 \approx (10^{10} \text{ GeV})^2$

ai questi numeri si possono fare degli accidi interventi per vedere in dettaglio i problemi di questo modello (vedi più avanti)

Problemi principali del modello:

- i) non è vero che $\langle S\varphi \rangle \ll \varphi_0(t) \Rightarrow$ amelio semiclassico non è valido, uno deve tenere da conto anche le fluctuazioni quantistiche. Queste spingono il campo verso il vero vuoto più velocemente \Rightarrow il potenziale di Coleman - Weinberg non è poi così piatto -

ii) Come vedremo le fluttuazioni in ϕ producono delle perturbazioni nella densità di energia ($\delta \phi \approx \frac{\partial V}{\partial \phi} \delta \phi$) -

Si ritiene che formano la prima disomogeneità delle puls, per successiva instabilità gravitazionale, si sono formate le strutture su grande scala nell'Universo (galassie, ammassi di galassie) e le anisotropie del CMB -

In questi modelli $\delta \phi \sim O(\lambda^3)$ con λ , così d'accoppiamento $\lambda \approx 1$ -

Perturbazioni di densità con ampiezze troppo grandi!

(si trova $\delta \phi \sim O(1-100)$), come ci si può aspettare dato che $\delta \phi$ è grande

Dalle osservazioni sulle anisotropie del CMB $\delta \phi \sim 10^{-5}$

Affinché $\delta \phi \sim 10^{-5}$ bisogna ridurre λ (ϕB) almeno di un fattore 10^{-10}

Che cosa vorrebbe dire questo fatto? Rivediamo il significato di $\lambda(eB)$ vorrebbe dire abbandonare tutte le costanti di accoppiamento di ϕ con gli altri campi. Ma allora si pone un problema: come si può spiegare che il campo scalare ϕ stia nel bagno termico (meccanismo della transizione di fase). Ovvio: come fa il campo ϕ a stare in equilibrio termodinamico se gli accoppiamenti sono bassi?

(e molte difficoltà x la fase di reheating: Troppo bassa per produrre assorbitiva barionica)

ESERCIZIO SU MODELLO DI INFLAZIONE NUOVA (fa vedere che $\frac{\delta \rho}{\rho}$ è troppo grande)

$$N(\varphi_i \rightarrow \varphi_f) = \int_{\varphi_i}^{\varphi_f} dt = -3 \int_{\varphi_i}^{\varphi_f} d\varphi \frac{H^2}{V'(\varphi)} = -8\pi G \int_{\varphi_i}^{\varphi_f} d\varphi \frac{V}{V'}$$

$$\dot{\varphi} = \frac{d\varphi}{dt} = -\frac{V'}{3H^2}$$

21 bis

Se $V(\varphi) \approx \frac{B_6}{2} \varphi^4 - \lambda \varphi^4$, $V' \approx -\lambda \varphi^3$ e

$$N(\varphi_i \rightarrow \varphi_f) \approx +3 \lambda H^2 \int_{\varphi_i}^{\varphi_f} \frac{d\varphi}{\varphi^3} = \frac{3}{2} \frac{H^2}{\lambda} \left(\frac{1}{\varphi_i^2} - \frac{1}{\varphi_f^2} \right)$$

tenuto conto del segno: $|V''| \ll H^2 \rightarrow$ ricordiamo che valido fino a

$$|V''(\varphi_f)| \sim 10H^2 \Rightarrow \varphi^2 \ll \varphi_f^2 \approx \frac{3H^2}{\lambda} \approx (30-300)H^2$$

$$V'' = -3\lambda \varphi^2$$

Ricordando che $H^2 \sim (10^{10} \text{ GeV})^2$ poniamo a somma $\varphi_i \approx (10^8-10^9) \text{ GeV}$
e ricaviamo $N > 1000$, di nuovo sufficiente per risolvere il problema
dell'ondata

Anticipiamo che:

$$\frac{\delta \rho}{\rho} \approx \frac{H^2}{\dot{\varphi}} \Big|_{N_\lambda} \approx -\frac{3H^3}{V'(\varphi)} \Big|_{N_\lambda} \approx \frac{3}{\lambda} \left(\frac{H}{\varphi} \right)^3$$

$$N(\varphi \rightarrow \varphi_f) \approx \frac{3H^2}{2\lambda} \left(\frac{1}{\varphi^2} - \frac{1}{\varphi_f^2} \right) \approx \frac{3H^2}{2\lambda} \varphi^{-2} \Rightarrow \frac{H}{\varphi} \approx \left(\frac{2\lambda N_\lambda}{3} \right)^{\frac{1}{2}}$$

$$\Rightarrow \frac{\delta \rho}{\rho} \approx \left(\frac{1}{2} N_\lambda^{\frac{3}{2}} \left(\frac{8}{3} \right)^{\frac{1}{2}} \right) \Rightarrow \frac{\delta \rho}{\rho} \approx 10^{-2} !$$

■ INFLAZIONE CAOTICA (Linde 1983)

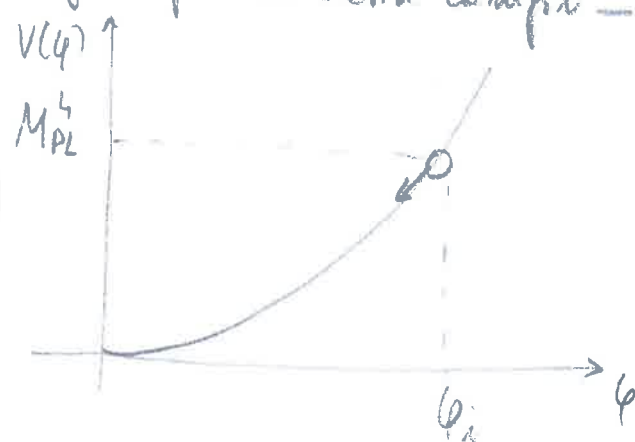
Vista le problematiche della nuova inflazione, si cerca di sfuggire all'inflazione dal disastroso relativo alle transizioni di fase e all'equilibrio termodinamico.

Supponiamo $V(\phi) = \frac{\lambda}{4} \phi^4$, con λ sufficientemente piccolo \Rightarrow

non ci sono ragioni di aspettare che a $t \approx t_{\text{Planck}}$ ϕ ne sia ovunque, ma potrà assumere qualsiasi valore compreso tra $-M_{\text{Pl}}$ e $+M_{\text{Pl}}$

(in modo tale che $V(\phi) \leq M_{\text{Pl}}^4$): domini omogenei ed isolati con ϕ che assume diff. valori (da cui il nome di inflazione caotica). In pratica a $t \approx t_{\text{Planck}}$ fa le funzio di in determinazione $\Delta \phi \Delta t \approx 1$, V può avere conoscito solo con una accuratezza pari a M_{Pl}^4 e non so dove sta il compro. In ciascuno dei domini il campo scalare lentamente cresce (la dinamica è quella del lento rotolamento, le condizioni iniziali sono diverse (rispetto ai problemi della fase termica \rightarrow si può infatti vedere che gli effetti di alte temperature non ci sono perché $V(\phi) \sim M_{\text{Pl}}^4$ è sempre dominante rispetto a $\dot{\phi}^2$)) -

Averne per avere $S_p \approx 10^5 \Rightarrow \lambda$ molto piccoli ($\lambda < 10^{-10}$): adesso questo è un problema meno critico poiché qui il campo scalare non interagisce più con altri campi -



$$V(\phi) = \frac{\lambda}{4} \phi^4 \quad \text{o} \quad V(\phi) = \frac{m^2}{2} \phi^2$$

tipicamente inflazione se $\phi > 3 M_{\text{Pl}}$ -

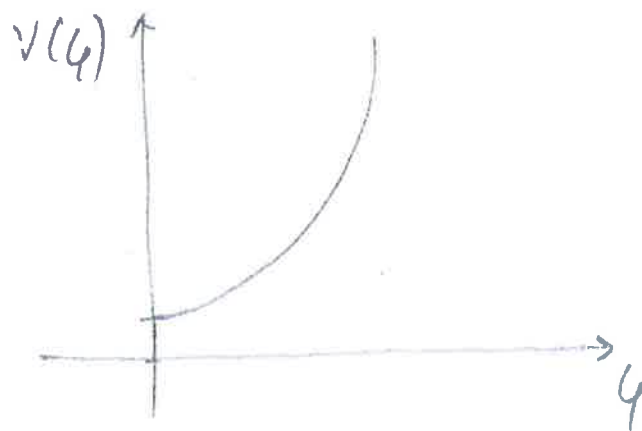
C. Modelli ibridi: $M_V > 2E_V$ (Liude 1991)

(24)

evolve verso un minimo con energia del vuoto $\neq 0$.

In questo caso la fine dell'inflazione è causata dalla instabilità in un secondo campo scalare.

Potenziali tipici $V(\phi) = \lambda^4 \left[1 + \left(\frac{\phi}{\mu} \right)^p \right]$



Modelli tipicamente impostati in superimmetria.

ex:

$$V = \frac{1}{2} m^2 \phi^2 + \frac{1}{4} \lambda (\phi^2 - M^2)^2 + \frac{1}{2} \lambda' \phi^2 \phi'^2$$

secondo campo che alla fine diventa instabile
all'inizio è intrappolato in $\phi=0$ da $\phi \propto \phi_{\text{initial}}$

\Rightarrow in questo regime $V = V_0 + \frac{1}{2} m^2 \phi^2$,

$$V_0 = \frac{1}{4} \lambda M^4$$

In generale

$$\dot{\varphi} = \frac{8}{3} (1 - m_S) + \frac{16}{3} M_{Pl} \frac{V''}{V}$$